

## تعیین پروفایل ضریب خاموشی اپتیکی در محیط‌های ناهمگن اتمسفری با استفاده لیدار جذبی-تفاضلی گازکربنیک

فائزه سادات قائم مقامی<sup>۱</sup>، پرویز پروین<sup>۱\*</sup>، سید فرشید قائم مقامی<sup>۲</sup>، علی بوالی<sup>۱</sup>، فضل الله برنا<sup>۳</sup>

<sup>۱</sup>دانشکده مهندسی انرژی و فیزیک، دانشگاه صنعتی امیرکبیر، تهران، ایران

<sup>۲</sup>شرکت فنی مهندسی ستیغ فرا افق

<sup>۳</sup>مرکز هواشناسی شهید مطهری، مشهد، ایران

\*Corresponding author: Parvin@aut.ac.ir

چکیده - در این پژوهش به منظور محاسبه پروفایل ضریب خاموشی اپتیکی، از یک لیدار جذبی تفاضلی بر پایه لیزر TEA CO<sub>2</sub> استفاده شده است. محاسبه پروفایل ضریب خاموشی، با استفاده از حل معادله لیدار، به روش نقطه مرزی نزدیک (حل کلت) انجام شده است. از روش‌های نظری مناسب، برای پیدا کردن پارامترهای این معادله، استفاده شده است. به دلایل متعددی همچون تمام سامانه‌های سنجش از راه دور، قبل از هرگونه استفاده از داده‌های لیدار، روش‌های پردازش سیگنال مناسب، برگزیده و به کار گرفته شده است.

کلید واژه- اثر حلقوی، روش نقطه مرزی نزدیک، حذف نوفه، ضریب اپتیکی خاموشی اتمسفر، لیدار جذبی تفاضلی گازکربنیک (DIAL).

## Determination of the Optical extinction profile coefficient in heterogeneous atmospheric environment, using TEA-CO<sub>2</sub> DIAL

<sup>۱</sup>Faezeh Sadat Ghaem maghami, <sup>۱\*</sup>Parviz Parvin, <sup>۲</sup>Sayed Farshid Ghaem maghami, <sup>۱</sup>Ali Bavali, <sup>۳</sup>Fazlollah Borna

<sup>۱</sup>Energy Engineering and Physics Department, Amirkabir University of Technology, Tehran, Iran

<sup>۲</sup>Setigh Fara Ofogh Engineering Company, Tehran, Iran.

<sup>۳</sup>Shahid Mottahari meteorological Center, Mashhad, Iran

Abstract- In this study, the TEA CO<sub>2</sub> laser based differential absorption lidar is used, in order to calculate the optical extinction coefficient profiles. Calculation of Extinction coefficient profile, is done using solution of lidar equation by near boundary method (NBM) approximation. To find the parameters of the equation, appropriate theoretical methods is used. For many reasons, like all remote sensing system, before using of the lidar data, suitable signal processing methods are selected and applied.

Keywords: Ringing effect, Near Boundary Method (NBM), Denoising, Extinction Coefficient Profile, and TEA-CO<sub>2</sub> DIAL.

ها<sup>۰</sup> و مولکول‌های اتمسفر، هستند. این رابطه توان بازگشتی از اتمسفر را نشان می‌دهد. معادله (۲)، حل معادله لیدار به روش تحلیلی کلت را ارائه می‌دهد. در این روش، احتیاج به انتخاب یک نقطه به عنوان مرز است که در آن نقطه ضرایب خاموشی و پسپراکندگی مشخص باشد. به دلیل انتخاب مرز در نزدیکی لیدار به این نوع از حل، روش نقطه مرزی نزدیک<sup>۷</sup> می‌گویند.

(۲)

$$\kappa(r) = \frac{Z(r)}{\left( \frac{Z(r_b)}{\kappa(r_b) + \frac{\Pi_m(r_b)}{\Pi_a(r_b)} \kappa_m(r_b)} \right) - 2 \int_{r_b}^r Z(r') dr' - \frac{\Pi_m(r)}{\Pi_a(r)} \kappa_m(r)}$$

اندیس b، بیانگر مرز است. متغیر  $Z(r)$  عبارتند از  $r^2 \times P(r)$  عبارت  $\Pi_m / \Pi_a$ ، نسبت ضریب خاموشی مولکولی (افشانه‌ها) به ضریب خاموشی مولکولی (افشانه‌ها) است. در این پژوهش برای یافتن نقطه مرزی صحیح و مقدار ضرایب اپتیکی آن، از روش برآش کمترین مربعات بر داده‌های لیدار، بر مبنای معادله (۱) بهره‌گیری می‌شود.

## ۲-۲- پدیده‌های فیزیکی

در صورت کوچک بودن ابعاد ذرات اتمسفری، نسبت به طول موج لیزری ( $\lambda > a$ )، پراکندگی ریلی<sup>۸</sup> رخ می‌دهد. به دلیل وابستگی طول موجی  $\lambda^4$  در رابطه سطح مقطع پراکندگی ریلی، به ازای طول موج‌های بزرگ، پراکندگی ریلی قابل صرفنظر کردن است. با در نظر گرفتن رژیم ( $\lambda < a$ )، که در مورد لیزرهای ناحیه فروسرخ صادق است، با افزایش اندازه ذره نسبت به طول موج باریکه لیزری، الگوی پراکندگی در اتمسفر به پراکندگی می<sup>۹</sup>، با وابستگی طول موجی  $\lambda^{-x}$  ( $0.4 < x < 0.5$ ) تغییر می‌کند. این نوع پراکندگی اغلب در مورد بخارآب، افشانه‌ها و سنگ‌های آتش‌فشانی اتفاق می‌افتد. پدیده دیگری که سبب حذف

## ۱- مقدمه

لیدار جذبی-تفاضلی<sup>۱</sup>، یک ابزار کارآمد برای آشکارسازی، ردیابی و تعیین غلظت گاز، به شکل سنجش از راه دور، به شمار می‌آید[۱]. در مقایسه با ابزارهایی همچون ابرسنج<sup>۲</sup> و انتقال‌سنج<sup>۳</sup>، لیدار قادر است پرفایل‌های ضرایب اپتیکی را در تمام جهات و به‌شکل نقطه‌ای و در هر شرایط آب و هوایی، تعیین کند. در شرایط اتمسفر ناهمگن، با استفاده از حل‌های نقطه مرزی معادله لیدار، که اولین بار توسط کلت<sup>۴</sup>، در سال ۱۹۸۱ و بعد از آن فرنالد<sup>۵</sup>، در سال ۱۹۸۴ ارائه شد، می‌توان ضریب اپتیکی خاموشی را که در به دست آوردن غلظت گازهای ردیابی شده توسط سامانه لیدار، نقش تعیین کننده‌ای دارد، محاسبه نمود[۲]. با این وجود از ابتدای دوره طراحی و ساخت سامانه‌های لیدار، عوامل محدود کننده‌ای سبب کاهش توانایی آن‌ها، شده است. بنابراین اجرای روش‌های پردازش سیگنال، بر داده‌های خام لیدار، توصیه شده است[۳].

## ۲- مبانی نظری

منظور از اتمسفر ناهمگن، اتمسفری است که در آن، میرایی بیم لیزری، ناشی از مولکول‌های هوا و ناهمگنی‌های دیگری همچون توده گازی جاذب، باشد.

## ۲-۱- معادله لیدار

معادله لیدار، برای یک سامانه لیدار تک طول موج و در یک اتمسفر ناهمگن مطابق رابطه (۱) است.

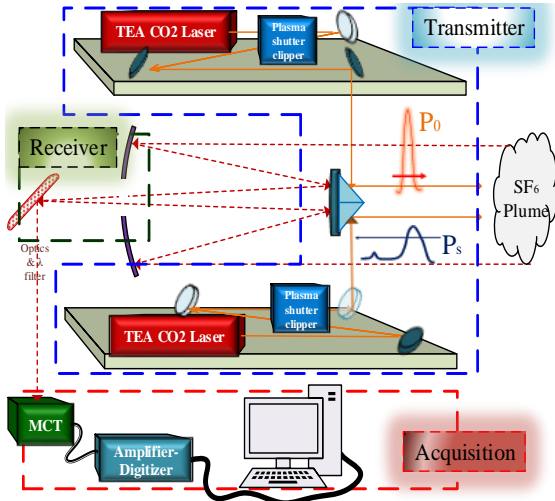
$$P(\lambda, r) = P_0 \xi(r) \xi(\lambda) \frac{A}{r^2} (\beta_a(r) + \beta_m(r)) \times \exp \left( -2 \int_{r_0}^r (\kappa_a(r') + \kappa_m(r')) dr' \right) \quad (1)$$

که  $P_0$ ، توان لیزری،  $(\xi(\lambda)$  و  $(\xi(r)$ ، به ترتیب، فاکتور گذردهی طیفی مربوط به آشکارساز و فاکتور همپوشانی بین تلسکوپ و لیزر است. فاصله توده از سامانه لیدار  $r$  و  $A_0$ ، سطح مقطع اپتیکی تلسکوپ است. ضرایب  $\kappa_a$  و  $\kappa_m$ ، ضرایب خاموشی ناشی از افشانه‌ها و مولکول‌ها، و ضرایب  $\beta_a$  و  $\beta_m$ ، به ترتیب ضرایب پسپراکندگی ناشی از افشانه‌ها<sup>۶</sup>

<sup>۱</sup>Differential absorption Lidar (DIAL)  
<sup>۲</sup>Nephelometer  
<sup>۳</sup>Transmissometer  
<sup>۴</sup>Klett  
<sup>۵</sup>Fernald

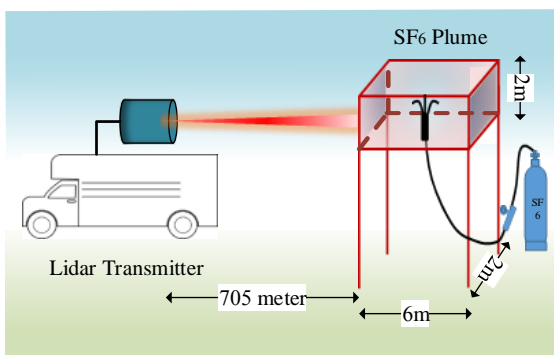
Aerosols  
 Near Boundary Method  
 Rayleigh  
 Mie

و بر روی آشکارساز MCT، مت مرکز می شود و در نهایت سیگنال بعد از عبور از یک تقویت کننده-دیجیتایزر، تقویت شده و به سیگنال دیجیتال تبدیل می شود.



شکل ۳: طرحی از سامانه لیدار DiAL کشسان.

در آزمایش‌ها، گاز  $SF_6$  سبب ایجاد ناهمگنی در اتمسفر استفاده شده است. در فاصله تقریبی ۷۰۰ متری گاز  $SF_6$  به شکل کنترل شده به جعبه‌ای با عبعاد  $2 \times 2 \times 6$  m با دو وجه باز وارد شده و در اتمسفر رها می شود. شکل (۳) چگونگی جمع‌آوری داده‌ها، از اتمسفر را نشان می‌دهد.



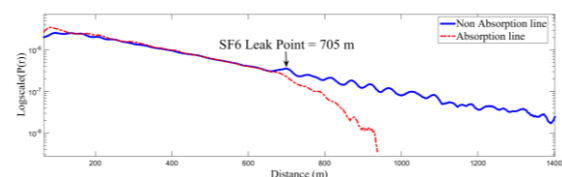
شکل ۳: نمایی از سلول پرتودهی و تزریق گاز  $SF_6$  به اتمسفر.

شرایط آب و هوایی این پژوهش با همکاری مرکز هواشناسی مشهد، جمع‌آوری شده است.

#### ۴- نتیجه‌گیری

فلوچارت شکل (۴)، بر مبنای روش‌های ذکر شده در قسمت مبانی و سیگنال بازگشتی در طول موج  $10.247 \mu\text{m}$  برای تعیین ضریب خاموشی اتمسفر ناهمگن، است

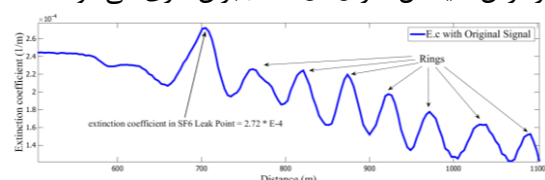
انرژی نورانی از باریکه لیزری می‌شود حضور گاز جاذب مثلث گاز  $SF_6$  در اتمسفر است. در شکل (۱) توان بازگشتی مربوط به سامانه لیدار در دو طول موج  $10.247 \mu\text{m}$  و  $10.551 \mu\text{m}$  نشان داده شده است. طول موج  $10.551 \mu\text{m}$  بر روی خط جذب گاز  $SF_6$  قرار دارد. مطابق با شکل (۱) باریکه لیزری به وسیله گاز جاذب، جذب می‌شود در صورتیکه طول موج غیرجذبی، فقط پراکندگی می‌را تجربه می‌کند.



شکل ۴: توان بازگشتی در دو طول موج جذبی و غیرجذبی

### ۳-۲- پردازش سیگنال

سیگنال‌های لیدار همچون همه سیگنال‌های سنجش از راه دور، احتیاج به حذف نوفه دارد. به دلیل نوع خاص سیگنال لیدار در این پژوهش برای حذف نوفه، روش آستانه‌گذاری نرم بر مبنای تبدیل موجک به کار رفته است. در هنگام آشکارسازی سیگنال در لیدار، هرگونه عدم تطابقی در سامانه، باعث بروز اثر Ringing در داده‌های خام می‌شود. شکل (۲) تاثیر مخرب این اثر در ضریب خاموشی محاسبه شده با داده‌های همین لیدار، را نشان می‌دهد. برای استفاده از چنین داده‌هایی، با روش‌های پردازش سیگنال، اثر Ringing جبران سازی می‌شود.

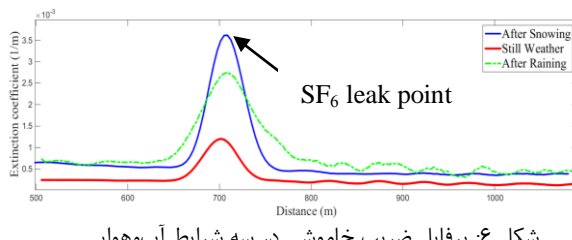


شکل ۵: ضریب خاموشی محاسبه شده در حضور گاز  $SF_6$ .

### ۳- روش آزمایش

در آزمایش‌های انجام شده، از یک سامانه لیدار جذبی-تفاضلی، مجهز به دو لیزر کوکپذیر  $\text{TEA-CO}_2$ ، با گستره‌گی طیفی  $9-11 \mu\text{m}$  استفاده شده است. شکل (۲)، طرحی از این سامانه را نشان می‌دهد. تاخیر زمانی بین دو بخش لیزری،  $200 \mu\text{s}$  بوده و نرخ تکرار  $0.3 \text{ Hz}$  است. قبل از ارسال تپهای لیزری به اتمسفر، پلاسما شاتر، دنباله نیتروژنی تپهای لیزری را حذف می‌کند. فوتون‌های بازگشته از اتمسفر، توسط تلسکوپ کاسگرین جمع‌آوری

نقطه تزریق گردیده است. علت افزایش ضریب خاموشی از دیدگاه فیزیکی، افزایش چشمگیر پراکنده‌گی چندگانه به دلیل حضور گاز است. با وارد شدن فوتون‌های لیزر در توده گاز، به دلیل چگال بودن توده گاز، فوتون‌ها چندین بار از مولکول‌های گاز بازتاب یافته و سپس به سمت سامانه لیدار پراکنده می‌شوند. مطابق شکل (۵) میزان پراکنده‌گی چندگانه در هوای عادی بسیار کم است. این ضریب قبل از توزیع گروه لیدار بدون اعمال روش‌های پردازش سیگنال مطابق شکل (۲) محاسبه شده بود [۵]. در شکل (۶) منحنی‌های ضریب خاموشی مربوط به سه شرایط آبوهوایی مختلف نشان داده شده است.

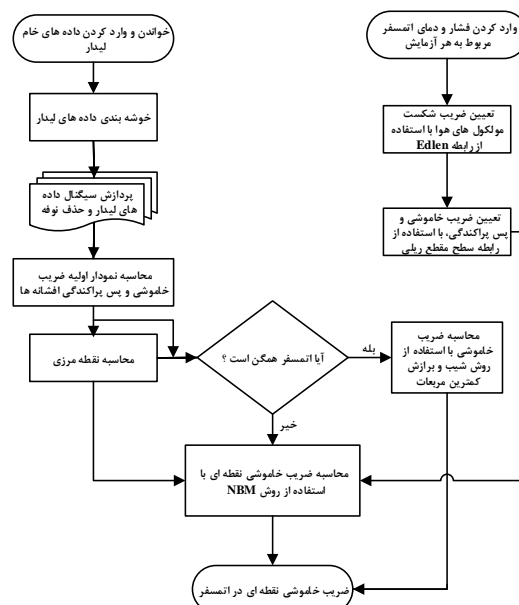


شکل ۶: پروفایل ضریب خاموشی در سه شرایط آبوهوایی.

در سه منحنی شکل (۶) غلظت گاز  $SF_6$  متفاوت است. با افزایش مقدار گاز تزریقی به اتمسفر در فاصله ۷۰۰ متری، پراکنده‌گی چندگانه می‌در نقطه تزریق و اطراف آن بیشتر شده و حذف انرژی بیشتری از باریکه لیزری اتفاق می‌افتد. در نتیجه ضریب خاموشی شروع به افزایش می‌کند. متفاوت بودن درصد رطوبت در سه روز مختلف سبب شده سطح منحنی‌ها در شکل (۶) متفاوت شود. رطوبت بالای هوای پس از باران (مطابق با جدول (۱)) و در مرتبه دوم، پس از برف سبب میزان بالای حذف انرژی از باریکه لیزری به دلیل افزایش پراکنده‌گی می‌و جذب و در نتیجه افزایش سطح ضریب خاموشی شده است. کاهش رطوبت در هوای صاف، کاهش پراکنده‌گی می، جذب و در نتیجه کاهش سطح ضریب خاموشی را در بر دارد.

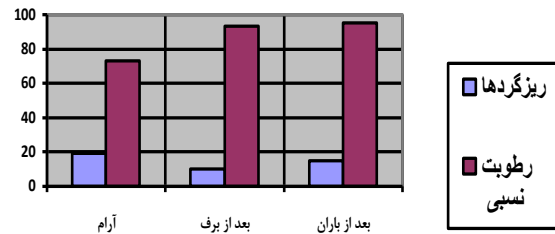
## مراجع

- [1] A. R. Bahrampour, A. A. Askari "Fourier-wavelet regularized deconvolution for lidar systems based on TEA-CO<sub>2</sub> laser", Elsevier, Optics Communications 257, pp.97-111, 2005.
- [2] V. Kovalev, W. E. Eichinger, *Elastic Lidar: Theory, Practice, and Analysis Methods*, p. 182, John Wiley & Sons, 2004.
- [3] J. D. Klett "Stable analytical inversion solution for processing lidar return", Applied Optics, Vol.20, No.2, 1981.
- [4] A. Abbate, C. M. DeCusatis, P. K. Das, *Applications of Wavelets to the Analysis of Transient Signals*, p. 386, Springer Science & Business Media, 2012.



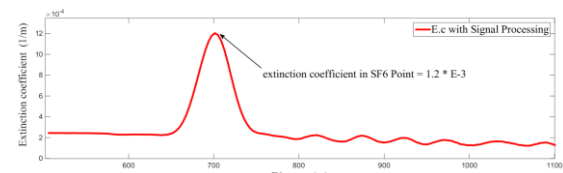
شکل ۴: فلوچارت برنامه محاسبه ضریب خاموشی به شکل نقطه‌ای.

بر طبق فلوچارت، نقطه مرزی در فاصله ۵۰۰ متری انتخاب شده است. آزمایش‌ها با استفاده از سامانه لیدار، در سه شرایط آبوهوایی انجام شد که میزان رطوبت و غلظت ریزگردها به شکل میانگین در سه روز مختلف در جدول (۱) ذکر شده است.



جدول ۱: شرایط آبوهوایی در روزهای آزمایش [۵].

پروفایل ضریب خاموشی به روش NBM با استفاده از فلوچارت بالا مطابق با شکل (۵)، به دست آمده است:



شکل ۵: فلوچارت برنامه، برای محاسبه ضریب خاموشی.

در شکل (۵) حضور گاز  $SF_6$  به عنوان ناهمگنی، افزایش چشمگیر ضریب خاموشی را سبب شده و پخش این گاز به شکل گوسی موجب افزایش ضریب خاموشی در اطراف

- [5] H. Kariminezhad, P. Parvin, F. Borna, A. Bavali, “SF<sub>6</sub> leak detection of high-voltage installations using TEA-CO<sub>2</sub> laser-based DIAL”, Elsevier, Optics and Lasers in Engineering 48, pp 491-499, 2010.